

超音波 CT에서의 屈折 및 位相 相殺 效果의 影響과 그 補正法

(Influence on Refraction and Phase Cancellation
Effect in Ultrasonic CT and its Correction)

崔宗秀*
(Jong Soo Choi)

要 約

超音波 CT는 tissue characterization을 위해現在有用한 技法으로期待되고 있다. 그러나 이에 의해再構成된 音速分布 및 減衰定數分布는 超音波 빔의 反射, 屈折, 位相 相殺效果等의 畫像劣下要因으로 인해 그 斷層像의 定量性評價에 問題點이 存在한다. 이에, 本論文은 먼저超音波 CT 畫像의 定量的評價를 위해 開發한 寒天(Agar) gel 팬텀을 利用하여 減衰定數分布 畫像劣下要因을 檢討했다. 그結果, 팬텀 中央部에서의 再構成 減衰定數는, 周圍媒體(食鹽水)와 音速差가 25m/s 일 때, 實際值보다 約 0.6dB/cm 程度 작게 나타났다. 다음, 이의 補正法으로 受信用 마이크로프로브 어레이法에 대한 計算機 시뮬레이션 및 實驗을 通해 그 有效性를 檢討하고, 良好한 結果가 얻어짐을 밝혔다.

Abstract

Although ultrasonic CT is one of the useful techniques for tissue characterization, the reconstructed images, such as the velocity distribution and attenuation constant distribution, are degraded by reflection and refraction of ultrasonic beam. This paper studied the degradation effects on attenuation images using agar gel phantoms which were developed to evaluate ultrasonic CT. We found that the reconstructed attenuation constants at the center of the phantoms were less than the actual values by 0.6 dB/cm when phantom velocity differs by 25 m/s from surrounding saline. We also studied a correction method for refraction and phase cancellation effects, where the correction was made using the maximum value in the received subdata, as obtained by sub-arraying microprobes located at each sampling point. Using this method, we could obtain an improvement in the reconstructed image by the correction on the attenuation effect.

I. 序論

펄스-에코法을 利用한 醫用 超音波 診斷 裝置에는

* 正會員, 中央大學校 工科大學 電子工學科
(Dept. of Elec. Eng., Chung-Ang Univ.)

接受日: 1982年 5月 31日

X線裝置에서와 같이 放射線障害의 두려움이 없고, 簡單히 生體의 斷面畫像(B-모드像)이 얻어진다는 理由때문에, 近年, 急速히 普及되었다. 그러나 이 펄스-에코法은 音響 임피던스가 서로 다른 媒體間의 界界面에서 反射된 에코를 利用하기 때문에 臟器등의 形狀을 映像化하는데 적당하나, 生體組織의 定量的 診斷이 어렵다는 欠點을 갖고 있다. 이 때문에 超音波組織

定量化(tissue characterization)이라고 하는 또 다른方向에 관한研究의重要性이認識되어 가고 있다.^[1]

그 한手段으로써 超音波 CT(Computed Tomography; 計算斷層映像法)을 들 수 있다.^{[2], [3]} 이에는, ①X線 CT와 같은高度의定量性과 ②X線과는 달리放射線障害의 두려움이 없다는 것, 또한 ③X線 CT 혹은超音波 펄스-에코法로써人體로부터 얻어낸情報와는判異한 새로운정보를 끌어낼 수 있을 것이 아닌가하는利點 등이期待되고 있다.

그러나, 再構成된超音波 CT 斷層像(減衰定數分布 및 音速分布)의定量的인信頼度는超音波빔(beam)의反射·屈折등의畫像劣下要因(反射, 屈折, 位相相殺效果等)으로 인해問題點으로남아있다.^[4]

本論文은減衰定數測定時,問題點으로되어있는超音波빔의屈折 및 位相相殺效果(phase cancellation effect)가超音波CT畫像에주는影響과 그補正法으로, T. Itoh & J. S. Choi^{[5], [6]}, K. M. Pan & C. N. Liu^[7]들이提案했던受信用트랜스듀서의서브어레이方法이計算機시뮬레이션 및 實驗을 통해檢討된다.

II. 反射, 屈折, 位相相殺效果의影響

1. 팬텀(Phantom)

超音波CT에서의畫像劣下要因을實驗에 의해定量적으로評價하기 위해서는音速 및 減衰定數가既知인팬텀을必要로한다. 이를위해本論文에서는寒天(Agar)젤(gel)을主體로하는팬텀^[6]을利用하기로했다. 이것은寒天젤에설탕(saccharose)과그라파이트분말과를混合하여만든것으로그림1에나타낸것처럼,音速은설탕量에 의해決定되고, 減衰는주로그라파이트분말량에 의해制御된다. 그러나, 上記方法으로물의音速보다느린팬텀을만들수없기때문에, 팬텀의音速이그周圍의媒體(通常물)보다느린狀況에서는팬텀을食鹽水속에넣고實驗했다. 以下에서論할實驗에서는音速 및 減衰定數가서로다른直徑72mm의圓柱形寒天팬텀을使用했다.

2. 反射, 屈折, 位相相殺效果의影響

1) 定性的인側面

超音波CT에서는그림2에서처럼對向시킨送信 및受信用트랜스듀서를直進走査시켜各點에서의透過程度를測定한다. 이러한配置에 의해測定된透過程度는被檢體自體에의한吸收외에被檢體와의境界面에서의反射, 屈折의影響이포함되기 때문에再構成된減衰定數에큰誤差를同伴하게된다. 즉,

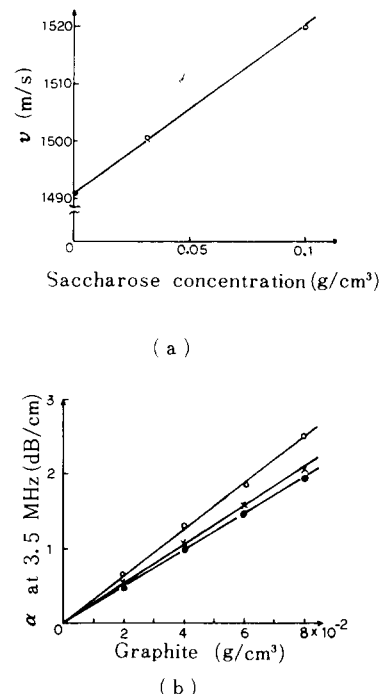


그림 1. 寒天팬텀의 (a) 音速對설탕濃度, (b)설탕濃度($-○-$; $0.0\text{g}/\text{cm}^3$, $-×-$; $0.025\text{g}/\text{cm}^3$, $-●-$; $0.1\text{g}/\text{cm}^3$)의變化에따른減衰定數 α 對그라파이트濃度

Fig. 1. (a) Ultrasonic velocity vs. saccharose concentration and
(b) Attenuation constant α at 3.5MHz vs.
graphite concentration by changing
saccharose concentration, ($-○-$; $0.0\text{g}/\text{cm}^3$, $-×-$; $0.025\text{g}/\text{cm}^3$, $-●-$; $0.1\text{g}/\text{cm}^3$),
in agar gel phantom.

反射現像이있을경우,測定데이타中의反射에의한波의減衰와被檢體에의한吸收와의區別이곤란하고,屈折現像이일어날경우,被檢體를透過하여到着하는超音波가直線上에둔受信用트랜스듀서를벗어나기때문에그만큼波의強度가弱해지는理由에있다. 또한,超音波빔내에多重傳播路가存在할경우,즉,그림3에서처럼被檢體를通過한超音波빔내에位相이다른2개의傳播路를가지게되면,現用의醫用超音波트랜스듀서(PZT振動子)는傳播해온波面(音壓)을積分하여그것을電氣信號로變換하므로2개의傳播路의位相差가例를들어 180° 이면그變換電氣信號는제로로되어버린다. 그結果,減衰가대단

히 크게 된다. 이러한 現象을 位殺 效果라고 한다. 이 現象은 音響 特性이 顯著하게 다른 境界面 等에서 자주 생기고, 또 트랜스듀서의 口徑에 따라 增加한다.

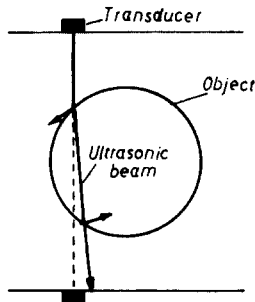


그림 2. 超音波 波의 反射와 屈折

Fig. 2. Reflection and refraction of ultrasonic beam.

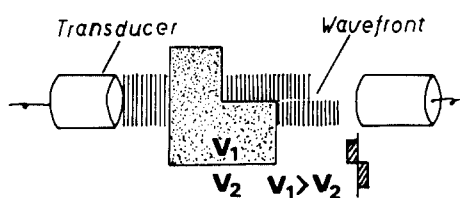


그림 3. 位相 相殺 效果

Fig. 3. Phase cancellation effect.

2) 理論的인 側面

트랜스듀서로 發射된 超音波가 水中の 媒體로 向해 傳播해 간다고 할 때, 이 對象 媒質이 軟部組織으로 되어 있을 경우, 透過 超音波는, 橫波 成分이 아주 微弱하여 縱波만이 成分인 平面波로 볼 수 있고, 또한 分散現象(傳播 速度의 周波数 依存性) 및 水中 減衰도 無視可能할 程度로 작다고 간주할 수 있다.^[10]

이러한 경우, CT 理論에 있어서, 送信波 $g(t, o)$ 를 基準하여 受信用 트랜스듀서의 表面에 到着하는 受信波 $g(t, L)$ 의 가장 理想的인 形은(그림 4 참조)

$$g(t, L) = g(t, o) \exp\left(-\int_0^L \alpha(z) dz\right) \quad (1)$$

이다. 但, 여기서 L 은 트랜스듀서 사이의 直線 距離이다. 따라서, 上記의 水中 減衰를 無視한다면, 水中 傳播만에 의한 受信波 $g_w(t, L)$ 와 $g(t, o)$ 와는 같아진다. 그러므로, $g_w(t, L)$ 를 基準으로 한 減衰投影 데이터는, 左(1)의 兩邊에 自然對數를 取해서, g_w 와 g 의 피-크值를 利用하면,

$$p(\zeta, \theta) = \frac{g_w, \text{peak}}{g, \text{peak}} = \int_0^L \alpha(z) dz \quad (2)$$

로 定義 可能하다. 여기서 ζ 는 直線 走崗 位置를, θ 는 投影角을, 각各 意味한다.

그러나, 實際로는 앞에서의 定性的 側面에서 다루었던 各種 現象때문에, 그림 4에서처럼, 受信될 超音波 $g(t, L')$ 의 周波数 ω 에서의 成分은, 式(1)의 Fourier 變換形과는 달리,

$$G(\omega, L') = G_0(\omega, o) \exp[-(\alpha'(\omega) + j\omega\tau)] \cdot T \quad (3)$$

로 나타내지고,^{[2], [11]} 여기서

$$\alpha'(\omega) = \int_0^{L'} \alpha(z, \omega) dz \quad (4)$$

$$\tau = \int_0^{L'} \left[\frac{1}{c(z)} + \frac{1}{c_w(z)} \right] dz \quad (5)$$

$$T = \prod_{i=1}^N T(z_i, \theta_i) \quad (6)$$

로 주어진다. 즉, $\alpha'(\omega)$ 는 傳播 距離 z 에 따라 變하는 周波数 依存 減衰定數로써, 媒質의 音速差로 인한 屈折 傳播路 L' 까지의 積分值로 주어진다. 이때 L' 는 兩트랜스듀서 表面의 中心을 잇는 直線을 基準으로 하여 超音波 波이 上下 左右로 偏移함을 뜻한다. 다음, τ 는 傳播 時間으로 傳播路 L' 上에 있는 水中(音速 $c(z)$)과 媒體中(音速 $c_w(z)$)에서의 傳播時間 合의 積分值이다. 끝으로, T 는 音響 阻抗이 다른 各境界面

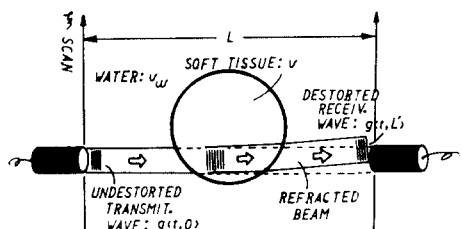


그림 4. 超音波 波面의 傳播

Fig. 4. Propagation of ultrasonic wavefront.

에서의 入射波와 透過波의 比로 주어지는 透過率로, 入射角의 正弦으로 되고 따라서 投影角에 따라서도 變한다. 이때 N 은 境界面의 数이다.

以上에서, T 는 媒質間에서 일어나는 反射에 의한 에너지 損失의 影響을, 또한 L' 는 屈折에 의한 非直線 傳播路의 影響을 각各 나타내고, 位相項인 τ 는 屈折 및 位相 相殺에 의한 에너지 損失의 影響을 나타내게 된다. 이중, 位相項에 關係된 性質을 좀 더 具體的으로 살펴보자. 그림 3에서와 같이 超音波 波 内에 存在하고 있는 異種의 音速 媒質(異種의 屈折率)로 인해

범내에는複雜한 多重 傳播路, 즉 τ 值를 달리하는 複數個의 傳播路, 및 그들의 干涉 現象이 생기고, 그結果, 受信用 트랜스듀서에 到着하는 波面에 歪을 가져오게 한다. 이 波面의 歪는 式(3)에서의 位相項이一定值를 갖지 못함에 起因하고, PZT 트랜스듀서의 特性, 即 直徑 W인 트랜스듀서 表面에 순간적으로 가해지는 音壓波面

$$G(\omega, L') = A(\omega, L') \exp[-j a(\omega, L')] \quad (7)$$

$$\text{但}, \quad \left\{ \begin{array}{l} A(\omega, L') = G_t(\omega, 0) \exp[-\alpha'(\omega)] T \\ a(\omega, L') = \omega \tau \end{array} \right. \quad (8)$$

$$(9)$$

의 2次元의(트랜스듀서 表面: 極座標系表現) 인 積分值.

$$G'(\omega, L') = \beta \int_0^{2\pi} \int_0^{\pi} A(\omega, L', \rho, \phi) \exp[-j a(\omega, L', \rho, \phi)] \rho d\rho d\phi \quad (10)$$

에 의해 電氣 信號로 바뀌어지는 性質, 때문에 트랜스듀서 表面의 中心을 기준으로 하여 그 表面上의 各點에서의 位相 a 가 다르면 位相 相殺 問題가 생긴다. 바꾸어 말하면, 超音波 빔이 屈折 現象으로 인해 直線上에 두 트랜스듀서를 벗어나므로, 그만큼 인가되는 波面의 難力(強度)이 弱해지는 問題가 생긴다. 但, 式(10)에서의 β 는 比例常数이고, (ρ, ϕ) 는 트랜스듀서 表面에서의 極座標系를 나타낸다. 따라서 이 現象은 位相項의 變化量과 口徑의 크기에 따라 增大된다.

3. 實驗 및 計算機 시뮬레이션

1) 實驗

그림 5는 3.5MHz에 서의, 減衰定數가 1.74dB/cm, 音

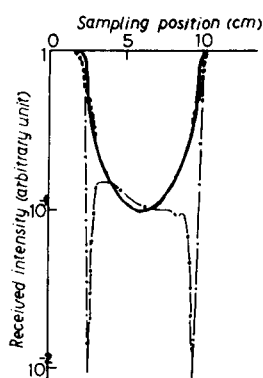


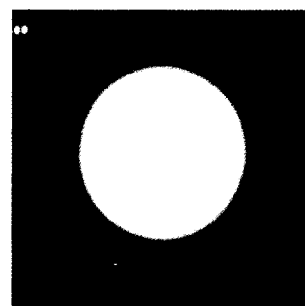
그림 5. 寒天 팬텀에 의한 投影 데이타

Fig. 5. Projection data of agar gel phantoms

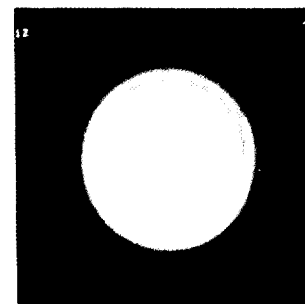
(—; in water (1490m/s), - - - ; in saline (1500m/s), -●- ; in saline (1520m/s)).

速이 거의 물에서와 같은 1490m/s인, 寒天 팬텀을 本中과 食鹽水中에서 測定하여 얻어진 投影 데이타이다. 反射, 屈折, 位相 相殺 效果 등의 畫像 劣下 要因에서受信 強度가 작아지고 있다. 이러한 投影 데이타를 2°간격, 90 方向으로부터 測定하여 再構成한 結果를 그림 6에 보인다. 같은 그림 (b)에서 볼 수 있듯이 팬텀과 周圍의 媒體와의 音速差가 10m/s라고 해도 팬텀周圍에서의 減衰定數가 크게 算出되어 있다.

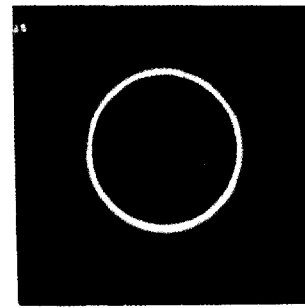
畫像 劣下 要因의 影響은 팬텀 周邊에서만 아니고, 中央部에서의 減衰定數에도 나타난다. 그림 7은 팬텀



(a) In water (1490m/s)



(b) In saline (1500m/s)



(c) In saline (1520m/s)

그림 6. 減衰定數 分布의 再構成 結果

Fig. 6. Reconstructed tomograms of agar gel

phantom in (a) water, (b) 1500m/s saline and (c) 1520m/s saline.

中央附近에서의 再構成 減衰定數와 팬텀 自體가 갖고 있는 減衰定數와의 關係를 보인다. 팬텀과 周圍媒體(例를 들어 물)의 音速이 같을 때에는 再構成值와 팬텀 自體 減衰定數가 거의一致하고 있다. 그러나, 서로 音速이 다른 경우, 再構成值은 實際値에 비해 항상 작게 算出되어 있고, 그 誤差는 팬텀 自體의 減衰定數에 依存하지 않는다는 것을 알 수 있다. 단, 이 誤差는 音速差가 30m/s 程度라 해도 0.6dB/cm나 되므로, 減衰定數를 測定하는데 큰 問題로 된다.

2) 計算機 시뮬레이션

圓柱形 팬텀을 對象으로 다음과 같은 條件下에서 行했다. 즉, 서로 마주 본 두 개의 트랜스듀서 사이의 非直線傳播路 L' 를 Snell의 法則에 의해 구했다.^[8] 그 다음, 이 超音波 傳播路上에서의 減衰와, 境界面에서

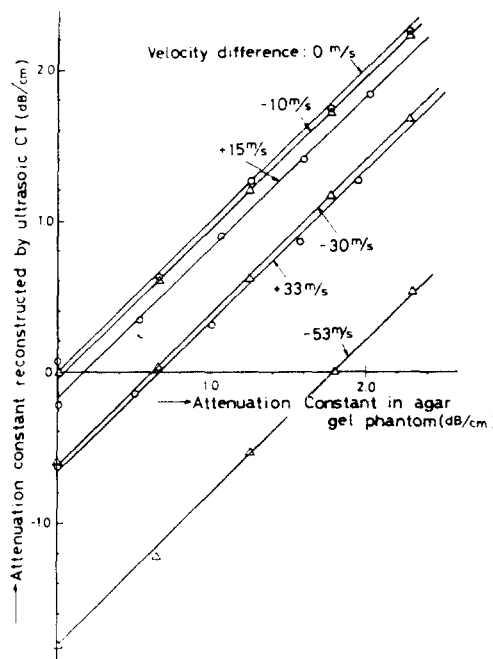


그림 7. 팬텀 中央部에서의 減衰定數

Fig. 7. Attenuation constant in agar gel phantom vs. attenuation constant reconstructed by ultrasonic CT at the center of its phantom.

의 反射에 의한 透過損失을 計算했다. 그리고, 屈折現像으로 인한 受信 強度 減衰는, 計算을 簡單히 하기 위해 式(10)에서처럼 2次元의 인 口徑이 아니라, 屈折 빔이 도달되는 受信位置에서의 트랜스듀서 (周波數 : 3.5MHz, 直徑 : 13mm) 指向特性(平面振動子, 遠距離

音場)^[10]과 直線上에 있는 트랜스듀서와의 關係로 부터 1次元의으로 計算했다. (그림 4 참조). 이때, 對象으로 한 팬텀의 音速은 물(1490m/s)을 기준으로 하여 0~50m/s의 音速差가 있도록 했고, 이를을 각각에 대한 減衰 投影 데이타로 부터 再構成했다. 그때, 再構成像의 中央部에서의 減衰定數 誤差를 그림 8에 보인다. 그림 6 (b), (c)에 對한 實驗에서의 誤差 역시 같은 그림에 表示되어 있다. 本 시뮬레이션 모델이 實驗値와 比較的 잘一致하고 있다.

III. 屈折, 位相 相殺 效果의 補正法

減衰定數測定時 超音波의 屈折影響으로 인한 誤差를 적게 하기 위해서는 原則의으로 첫째, 可能限한 被檢體와 音速差가 적은 媒體中에서 測定할 것, 둘째, 될 수 있는데로 受信用 트랜스듀서를 被檢體에 가까이해서 測定 데이타를 収集할 것 等이 要求된다.

前者에 對한 一例를 그림 9에 보인다. 여기서 使用했던 寒天 팬텀은 같은 그림(a)에 보이는 바와 같은 斷面으로 되어 있고, 그 音速 및 減衰定數는 각각 1520m/s, 1.95dB/cm이다. 이 팬텀을 水中(1490m/s)에서 測定한 경우와, 音速差가 거의 없는 食鹽水中에서 測定한 경우와의 差는 쉽게 区別할 수 있다. 그러나, 被檢體의 音速을 미리 알기란 어렵고, 即知라고 해도 周

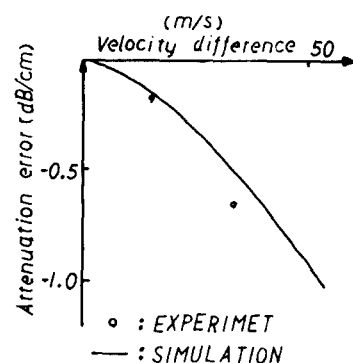


그림 8. 超音波 CT에서 音速差에 의한 減衰定數 誤差

Fig. 8. Attenuation constant errors by velocity difference in ultrasonic CT.

則 媒體의 音速의 適當한 調整이 대단히 곤란하기 때문에, 屈折 등에 대한 補正은 必然의이라 하겠다.

1. 補正法

前述의 II. 2. 2)의 理論的 側面에서, 位相項의 變動

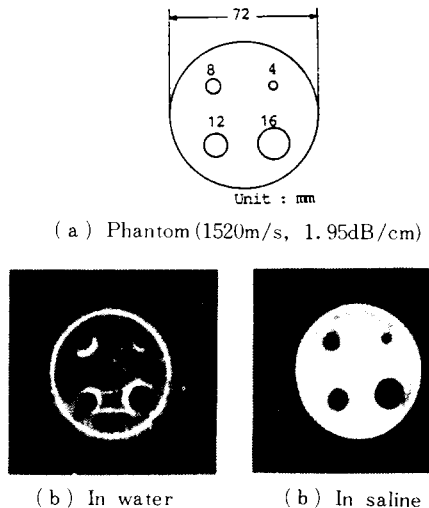


그림9. 食塩水濃度에 의한 畫質의 改善

Fig. 9. Improvement of reconstructed image by saline density.

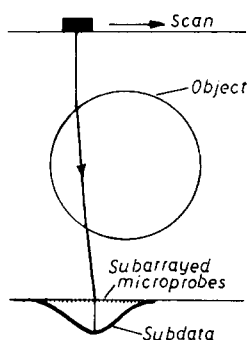


그림10. 受信用 마이크로프로브 서브어레이에 의한 透過強度分布의 测定

Fig. 10. Measurement of transmitted intensity distribution by subarrayed microprobes.

에 의한 影響은 다음과 같다. 즉, 첫째, 超音波 빔의 屈折하여 直線傳播路를 벗어난다. 따라서 그 벗어난 만큼 트랜스듀서 表面에 印加되는 音圧은 弱해진다. 둘째, 波面의 歪에 의해 位相相殺가 생기고, 이 影響은 트랜스듀서의 直徑에 따라 增大된다. 이에 대한 對策으로, 本論文에서는, 그림10에서처럼 1개의 送信用 트랜스듀서에 對해 直徑이 無視할 만큼 작은 受信用 마이크로프로브를 1mm의 간격으로 서브어레이에 시켜, 이때 얻어지는 서브데이터中의 最大值를 送信點에 對한 代表值로 하는 方法이 고려했다.

만약, 屈折傳播路의 受信點이 直線傳播路로 부터 크게 벗어나지 않을 程度(트랜스듀서의 直徑 程度)

라 하면, 上記 두 영향을 減少시킬 수 있을 것이다.

1) 計算機 시뮬레이션

前節에서 記述된 것처럼, 圓柱的 팬텀을 對象으로 하여, 먼저, 트랜스듀서의 中心 位置로 부터 發射되어 受信 位置까지 오는 非直線 傳播路를 Snell의 法則에 의해 구하고, 그 다음, 이 傳播路上의 減衰度와 境界面에서의 透過率(反射影響)을 구했다. 位相相殺問題는 受信軸上의 點(直徑無視)에 의해, 그리고 屈折범으로 인한 受信 에너지 減衰問題는 直線傳播路를 中心으로 하여 上下 1mm가격으로 13mm(트랜스듀서의 直徑)範圍內의 受信點을 考慮, 이 중 에너지 損失이 가장 작은 것을 データ로 함에 의해, 각각 解決된 것으로 했다.

上記의 方法에 의해 補正된 結果를 그림11에 點線으로 나타냈다. 但, 이것은 再構成像의 中央部에서의 減衰定數誤差를 計算한 것이다.

따라서, 本 補正法에서는 式(6)의 反射現象에 의한 에너지 損失의 防止策과 빔의 屈折現象으로 인한 非直線傳播路 L'의 影響에 對한 강구책이 포함되어 있

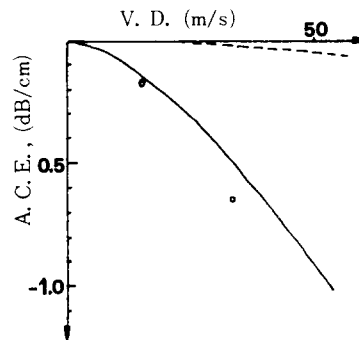


그림11. 補正法을適用한 경우(---)와 補正없는 경우(—)의 音速差對減衰定數誤差(計算機シミュレーション)

Fig. 11. Attenuation constant error vs. velocity difference obtained by computer simulation in case of applying the correction(---) and no correction(—).

지 않다. 그러나 그림11에 보이는 바와 같이 이들 性質에 의한 것보다 本 補正法에서 考慮한 것에 의한 에너지 損失이 더 큰 것임을 알 수 있다. 그러므로 그有用性이 確認됐다.

2) 實驗

中心周波數 3.5MHz, 直徑 13mm의 PZT 振動子로

된 送信用 트랜스듀서에 對해, 直徑 1mm인 마이크로프로브를 1mm의 간격으로 서브어레이시켜, 각 마이크로프로브로 부터 測定된 波形의 피크値가 最大인 것이 送信點에 대한 データ로 설정했다. 이 過程을 直線走査 샘플링 포인트 64個에 對해 行하고, 이를 다시 逆轉角 4° 간격으로 180°에 걸쳐서 測定했다. 팬텀 使用條件으로 써는 그림 6(c)에서 보인 바와 같이 音速 1520m/s인 食鹽水中에 圓柱形 寒天 팬텀(1490m/s)을 둔 경우였다. 이때 얻어진 投影 データ를 그림12에 보인다. 그림 5의 같은 팬텀 使用條件 結果(—●—)와 비교하여 볼때, 팬텀 境界面에서의 部分이 本 補正法을 使用함에 의해 그림 5의 理想的인 データ(—)에 훨씬 接近되어 있음을 알 수 있다. 그림12와 같은 投影 データ에 의해 再構成된 結果를 그림13에 보인다. 팬텀 中央部에서의 減衰 定數 誤差는 -0.14dB/cm 였다. 종래의 方法(그림 6(c))에 의한 오차 -0.6dB/cm 에 비해 크게 改善되어 있다.

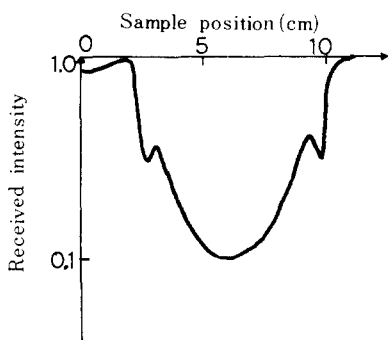


그림12. 補正法에 의한 投影 データ

Fig. 12. Projection data of agar gel phantom measured in 1520m/s saline with correction for refraction and phase cancellation effect.

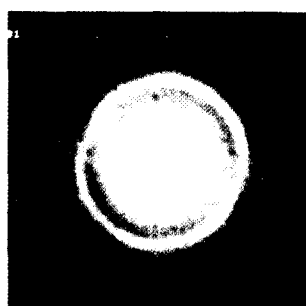


그림13. 補正法에 의한 減衰 定數 分布의 再構成 像

Fig. 13. Reconstructed attenuation image with correction.

2. 檢討

本 補正法을 適用한 結果, 計算機 시뮬레이션(그림 11)에 있어서는 亂補正된 データ를 보여 주었다. 反面에, 實驗에 있어서는 그림12의 投影 データ 兩모서리 部분에 줄곡이 남아 있고, 이는 다시 그림13의 再構成 像에서 境界面를 強調해서 나타나게 하고 있다. 이 理由는 다음과 같이 考察될 수 있다. 즉, 첫째, 式(9)에서, 位相(波面)은 周波數($f=C/\lambda$)와 傳播 時間에 따라 变한다. 따라서 波面의 形에 無關할 수 있을, 즉 位相 相殺 問題가 생기지 않을, 트랜스듀서의 直徑은 波長 λ 보다 작아야 한다. 여기서 사용된 트랜스듀서는 3.5MHz로 물의 音速을 기준으로 하면 波長이 約 0.4 mm이다. 현데, 마이크로프로브의 直徑은 1mm로 上記 條件을 만족시켜 주지 못하고 있다. 둘째, 測定上의 問題로, 마이크로프로브의 受信能力으로 인해 受信 強度가 弱하여 雜音의 影響을 받기 쉬웠다.

아울러, 이미 言及한 바와 같이, 本 補正法에서 고려하지 않은 反射 現象과 非直線 傳播路에 의한 形响이다. 그 量이 크지 않다고 하더라도, 보다 나은 畫質을 얻기 위해서는 補正되어야 할 性質이다. 反射에 대한 것은 多數의 周波數 依存 減衰 定數를 測定함에 의해 減少시킬 수 있음이 報告되어 있다.^{[2], [9]}

IV. 結論

本 論文은, 寒天 팬텀을 使用한 實驗 및 그 計算機 시뮬레이션을 通해, 超音波 CT에서 減衰 定數 測定時의 畫像의 劣下를 評價했다. 또한, 再構成된 減衰 定數 分布에는 超音波 빔의 屈折 및 位相 相殺 效果의 影響에 의해 實際와는 다른 큰 誤差가 發生함을 檢討했다. 이의 補正法으로, 送信用 트랜스듀서 位置에 마이크로프로브를 서브어레이시켜 서브데이터中 最大值를 送信點에 對한 代表值로 봄에 의해 屈折 및 位相 相殺 效果의 影響이 현저히 減少됨을 確認했다. 그러나, 本 補正法은 反射에 對해서 有効하다고 할 수 없고, 屈折 및 位相 相殺 效果에 대해서도 엄밀한 意味에서의 補正에 完全히 滿足시켜 주지는 못한다고 할 수 있다. 그러나, 上記 結果로 부터 有効한 方法임을 증명해 주고 있다.

謝意

本 研究를 行하는데 있어 有効한 指導와 격려를 해 주신 日本 慶應義塾大學工學部 副教授 M. Nakajima 博士, 그리고 實驗과 討論에 協助해 주신 日本 Aloka (株), 研究所, T. Itoh,兩氏에 感謝한다.

參 考 文 獻

- [1] Ultrasonic tissue characterization I & II
Ed. M. Linzer, *NBS. Special Publication*,
453 & 525, 1976, 1979.
 - [2] Special issue on computerized medical imaging, *IEEE Trans. BME-28*, no. 2,
pp. 177-220, 1981.
 - [3] J. S. Choi, et al.; "A projection data gathering system for ultrasonic CT(UCT)",
Proc. of Symp. on Phys. & Tech. Aspects of Transmission & Emission CT, Tokyo,
pp. 122-123, Sept. 1980.
 - [4] J. S. Choi, et al., "Influence of the wave characteristics on ultrasonic computed tomography", *Japanese J. of Medical Ultrasonics*, vol. 7, no. 1, pp. 35-44, 1980.
 - [5] T. Itoh, J. S. Choi, et al., "Correction for refraction on ultrasonic CT", *Proc. of Japan Soci. of Ultrasonic Medicine*, 39-C-74, pp. 549-550, 1981.
 - [6] T. Itoh, J. S. Choi and M. Nakajima,
"Image degradations in ultrasonic CT",
Proc. of IEEE Ultrasonics Symp., Cat.
no. 81, CH 1689-9, pp. 601-606, 1981.
 - [7] K. M. Pan and C. N. Liu, "Tomographic reconstruction of ultrasonic attenuation with correction for refractive errors", *IBM Res. Develop.*, vol. 25, no. 71, 1981.
 - [8] J. S. Choi, *A Study on Ultrasonic CT*.
Ph. D. Dissertation, Keio Univ. pp. 52-54,
1980.
 - [9] J. R. Klepper, G. H. Braudenburger, et al.,
"Phase cancellation, reflection, and refraction effects in quantitative ultrasonic attenuation tomography", *Proc. of IEEE Ultrasonics Symp.* pp. 182-188, 1977.
 - [10] P.N.T. Wells: *Physical Phinciples of Ultrasonic Diagnosis*. Academic Press, 1969.
 - [11] 崔宗秀: "超音波 CT の現況と展望", 大韓電氣學會誌, 3, 7, pp. 34-42, 1982.
-